

ОБЪЕДИНЕННЫЙ  
ИНСТИТУТ  
ЯДЕРНЫХ  
ИССЛЕДОВАНИЙ  
ДУБНА



3458/2-78

21/8-78

13 - 11543

К-267

В.В.Карпунин

УСТРОЙСТВО СЧИТЫВАНИЯ ИНФОРМАЦИИ  
ДЛЯ ДРЕЙФОВЫХ КАМЕР

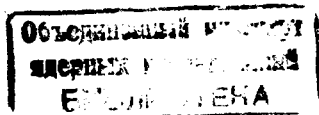
**1978**

13 - 11543

В.В.Карпухин

УСТРОЙСТВО СЧИТЫВАНИЯ ИНФОРМАЦИИ  
ДЛЯ ДРЕЙФОВЫХ КАМЕР

*Направлено в ПТЭ*



Карпухин В.В.

13 - 11543

Устройство считывания информации для дрейфовых камер

Разработано устройство считывания информации для дрейфовой камеры с большим количеством регистрирующих каналов. Устройство считывания осуществляет формирование сигналов с дрейфовой камеры и кодирование номеров сработавших проволок. Описаны два варианта усилителей-формирователей: для пропорционального и сильноточного режимов работы дрейфовых камер.

Препринт Объединенного института ядерных исследований. Дубна 1978

© 1978 Объединенный институт ядерных исследований Дубна

Для измерения координат частиц, проходящих через дрейфовую камеру, обычно к каждой сигнальной проволоке подключают усилитель-формирователь и времяцифровой преобразователь /ВЦП/. При этом номер сработавшего ВЦП указывает на номер сработавшей проволоки, а код, записанный в него, соответствует времени дрейфа электронов от места прохождения частицы до сигнальной проволоки.

Однако в тех случаях, когда за одно событие срабатывает небольшая часть общего числа регистрирующих каналов, при таком способе считывания большая часть регистрирующей аппаратуры не участвует в процессе считывания полезной информации.

Для сжатия информационного массива, передаваемого с дрейфовых камер, в работе /1/ предложено осуществлять параллельное кодирование номеров сработавших проволок сразу после усилителей. В этом случае при прохождении одной частицы через камеру номер проволоки записывается в двоичном коде в регистр, а время дрейфа определяется одним ВЦП, стоп-сигнал для которого образуется путем объединения по "ИЛИ" всех проволок, подключенных к шифратору. Для регистрации данных с нескольких проволок, сработавших в малом интервале времени, предлагается использовать коммутатор, распределяющий сигналы в соответствующее количество ВЦП и приемных регистров с числом разрядов  $m = \log_2(N + 1)$ , где  $N$  - общее число сигнальных проволок. Однако в таких случаях возможно искажение кодов из-за их наложения в шифраторе, поэтому разрешающее время шифратора должно быть минимальным.

В данной работе описано устройство считывания информации /УСИ/, разработанное для дрейфовых камер, имеющих 128 сигнальных проволок и предназначенных для регистрации одночастичных событий. Технология изготовления и конструкция таких камер описаны в работе /2/.

УСИ осуществляет формирование сигналов с камеры по амплитуде и длительности и кодирует номера сработавших проволок. В отличие от работ /1,3/ кодирование осуществляется в коде Грея, что позволяет избежать существенного искажения кода на выходе шифратора при одновременном срабатывании двух соседних каналов от частицы, прошедшей посередине между сигнальными проволоками. В этом случае код на выходе шифратора будет соответствовать номеру одного из соседних каналов.

При прохождении через камеру двух частиц одновременно вероятность искажения кода равна

$$W = t_p / T_g,$$

где  $t_p$  - разрешающее время шифратора,  $T_g$  - максимальное время дрейфа. Разрешающее время описываемого ниже шифратора равно длительности импульсов на его выходах и составляет 10 нс. Тогда, если  $T_g = 100 \text{ нс}^{1/2}$ , то  $W = 0,1$ . Однако  $t_p$  для первой из нескольких прошедших через камеру частиц определяется в основном временным разбросом импульсов в коде, не превышающим для этого шифратора 1,5 нс.

УСИ /рис. 1/ состоит из усилителей-формирователей /У/, двухступенчатого шифратора (К, М,  $\Sigma$ ) и преобразователей уровней ЭСЛ-НИМ.

### 1. УСИЛИТЕЛЬ-ФОРМИРОВАТЕЛЬ

Разработаны два варианта усилителя-формирователя: для пропорционального режима работы дрейфовой камеры /вариант А/ и сильноточного /4/ вариант Б/. Усилители-формирователи обоих вариантов осуществляют усиление, дискриминацию и формирование сигналов по амплитуде и длительности.

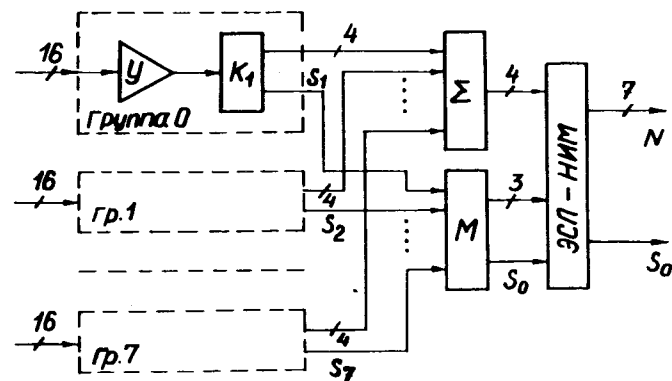


Рис. 1. Блок-схема устройства считывания.

Вариант А. Усилитель-формирователь /рис. 2а/ выполнен на микросхеме К1ЛП381 и отличается от аналогичных разработок /5,6/ в основном низким входным сопротивлением  $R_{вх} = 100 \text{ Ом}$ . Собственное временное "гуляние" усилителя-формирователя - 8 нс, порог срабатывания  $J_n = 2 \text{ мкА}$ . Благодаря этому он может быть использован для измерения координат с дрейфовой камеры при большой емкости сигнальных проволок.

Усилитель трехкаскадный, коэффициент усиления по напряжению каждой секции примерно 6. Так как камера является генератором тока, то для уменьшения входного сопротивления первый каскад /М1/ охвачен параллельной отрицательной обратной связью по напряжению. Режим работы усилителя задается и стабилизируется обратными связями ( $R_2, R_3$ ). Дискриминация и формирование сигнала осуществляется одновибратором /М4/, порог срабатывания которого примерно 50 мВ. Временязадающая цепь  $R_7 C_2$  подобрана так, чтобы исключить повторные срабатывания одновибратора во время действия входного сигнала. Для уменьшения разрешающего времени шифратора положительные импульсы с выхода одновибратора укорачиваются цепью  $R_{10} C_3$  до 10 нс /ширина на полувысоте/. Дальнейшее сокращение длительности выходных импульсов ограничивается быстродействием при-

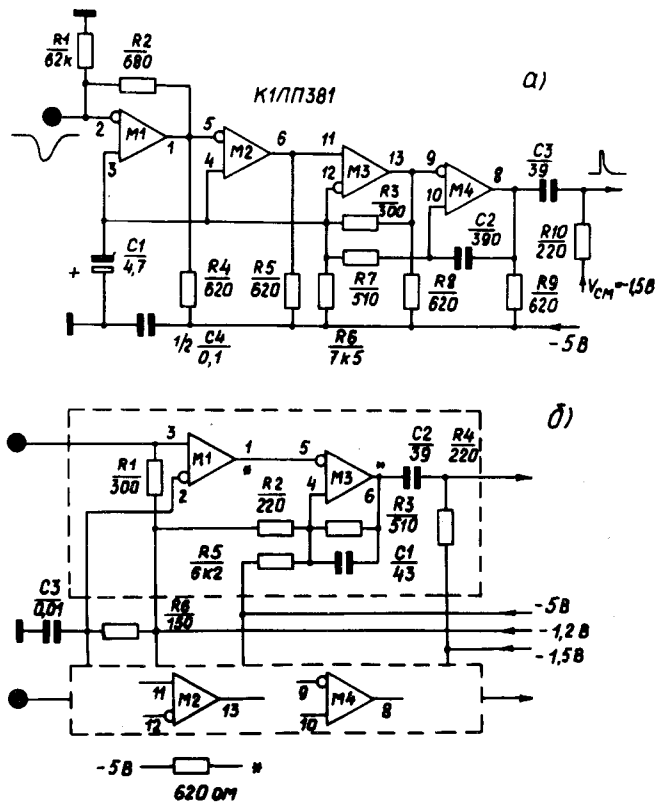


Рис. 2. Принципиальные схемы усилителей-формирователей: а/ - для пропорционального режима; б/ - для высоко-точного режима.

меняемых микросхем. Напряжение  $V_{CM}$  задает порог срабатывания шифратора К. С целью уменьшения длины линий связи, а также для удобства эксплуатации, 16 усилителей-формирователей и шифратор К размещены на одной плате размером  $16 \times 17,5 \text{ см}^2$ . В таблице приведены основные характеристики плат.

Таблица

Основные характеристики плат

|                                                                                       | Вар.А         | Вар.Б |
|---------------------------------------------------------------------------------------|---------------|-------|
| 1. Входное сопротивление, Ом                                                          | 100           | 300   |
| 2. Порог срабатывания, мкА                                                            | 2             | 100   |
| 3. Изменение порога срабатывания, %                                                   |               |       |
| а/ при изменении температуры на $1^\circ \text{C}$ *                                  | 0,2           | 0,2   |
| б/ при изменении напряжения питания на 1%                                             | 2             | 0,7   |
| 4. Амплитуда входных импульсов, при которой наводки в плате отсутствуют, мА, не менее | 1             | 10    |
| 5. Порог срабатывания для положительных импульсов, мА                                 | > 1,5         | > 10  |
| 6. Мертвое время                                                                      | см. рис. 3    |       |
| 7. Время восстановления                                                               | см. рис. 3    |       |
| 8. Задержка прохождения сигналов                                                      | см. рис. 3    |       |
| 9. Собственное временное "гуляние", нс **                                             | 8             | 5     |
| 10. Разрешающее время, нс                                                             | 10            |       |
| 11. Выходные импульсы                                                                 |               |       |
| а/ полярность                                                                         | положительная |       |
| б/ уровни                                                                             | ЭСЛ           |       |
| в/ длительность, нс                                                                   | 10            |       |
| г/ временной разброс импульсов в коде, нс                                             | 0,5           |       |
| 12. Напряжение питания, В                                                             | -5            |       |
| 13. Потребляемый ток, мА                                                              | 850           | 460   |

\* В диапазоне температур  $+20 \pm +70^\circ \text{C}$ .

\*\* При изменении амплитуды входного тока от  $2J_n$  до  $20J_n$

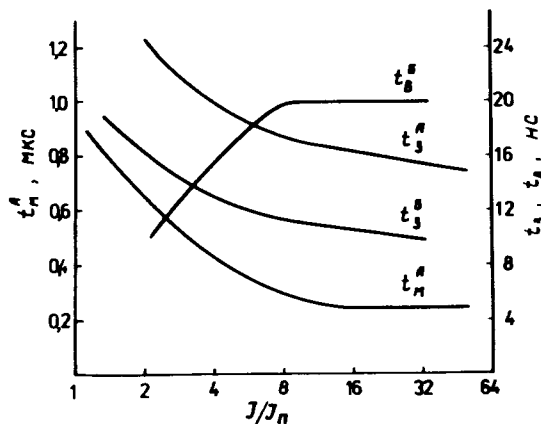


Рис. 3. Зависимость мертвого времени ( $t_M^A$ ), времени восстановления ( $t_B^B$ ) и задержки ( $t_3^A, t_3^B$ ) от отношения амплитуды входного сигнала к порогу срабатывания ( $J/J_n$ ). Индекс сверху указывает на вариант усилителя.

**Вариант Б.** При работе дрейфовой камеры в сильноточном режиме импульсы тока на сигнальных проволоках имеют амплитуду  $200 \div 4000$  мкА при сравнительно небольшом амплитудном разбросе и фронте 10 нс. Кроме того, характеристики камеры в этом режиме не чувствительны к изменению порогов регистрации в широком диапазоне. Поэтому требования к стабильности порога и временному "гулянию" формирователя /с учетом интегрирующего действия емкости сигнальной проволоки/ оказываются существенно ослабленными. Порог регистрации при этом может быть повышен в  $50 \div 100$  раз по сравнению с тем, который необходим для камер, работающих в пропорциональном режиме.

На рис. 2б показана принципиальная схема формирователя. На одной микросхеме К1ЛП381 реализованы два канала. Секции М1 и М2 используются для усиления импульсов напряжения. Дискриминация и формирование импульсов осуществляется триггерами Шмидта /МЗ,

М4/. Резистор  $R_6$  предназначен для уменьшения влияния входных токов секций М1 и М2 на порог срабатывания формирователей. Назначение укорачивающей цепи  $R_4 C_2$  такое же, как в варианте А.

На плате размером  $16 \times 12$  см<sup>2</sup> размещено 16 формирователей и шифратор К. Основные характеристики платы приведены в таблице.

## 2. ШИФРАТОР

Представление номера сработавшего канала в коде Грея осуществляется двухступенчатым параллельным шифратором /рис. 1/.

Все 128 регистрирующих каналов разделены на 8 групп по 16 каналов. Усилители-формирователи в каждой группе подключены к шифраторам номера канала в группе (К). Общие выходы этих шифраторов (S) соединены с входами шифратора номера группы /М/, а остальные объединяются поразрядно ( $\Sigma$ ). Выходы шифратора М объединяются по "ИЛИ" /шина  $S_0$  /. Таким образом, при срабатывании любой сигнальной проволоки на выходах N получается соответствующий код. Сигнал на выходе  $S_0$  появляется при срабатывании любого канала и используется для измерения времени и для записи кода N в приемный регистр. Выход  $S_0$  может быть использован для дальнейшего наращивания шифратора. Шифратор на 128 каналов реализован на 47 микросхемах серии 138.

## 3. КОНСТРУКЦИЯ УСИ

Платы А или Б размещаются параллельно сигнальной плоскости камеры, их входы припаиваются к ламелям сигнальных проволок. Из-за особенностей кода Грея платы устанавливаются так, чтобы направления кодирования в четных и нечетных платах были противоположны. Шифратор номера группы (М,  $\Sigma$ ) соединяется с выходами плат А или Б коаксиальными кабелями одинаковой длины.

В заключение автор выражает благодарность Д.М.Хазинсу и А.В.Купцову за полезные обсуждения и ценные замечания, Л.Л.Неменову за поддержку работы. Автор благодарен Г.В.Покидовой и С.Г.Пластининой за техническую помощь.

#### ЛИТЕРАТУРА

1. Verweij H. *Int. Conf. on Instrumentation for High Energy Physics. Frascati, 1973, p.616.*
2. Алексеев Г.Д. и др. ОИЯИ, Р13-10608, Дубна, 1977.
3. Смирнов В.В., Симонов Ю.Н. ПТЭ, 1973, №4, с.99.
4. Алексеев Г.Д. и др. ОИЯИ, Р13-11017, Дубна, 1977.
5. Вишневский А.В., Зарубин А.В., Силаев Е.А. ОИЯИ, Р13-9410, Дубна, 1975.
6. Басиладзе С.Г. ОИЯИ, 13-7250, Дубна, 1973.

**Рукопись поступила в издательский отдел  
4 мая 1978 года.**